

中央大学理工学部 正員 林 泰造  
 中央大学大学院 学生員 有田 正光  
 ○中央大学大学院 学生員 首藤 啓

## 1. まえがき

周囲水が静止している場での温排水の拡がりに関する実験は今までにかなり数多く行われている。しかし、実際の場合においては、ある程度の横流れがあることが普通であるが、そのような場に放出された温排水の拡がりについては、従来、実験室内で行われた実験は極めて少い。本研究はそのような横流れのある場合の実験を行って、温排水の拡がりに対する横流れの影響を明らかにするものである。

## 2. 実験装置

実験に使用した水槽は長さ 10.8 m、幅 5.4 m、高さ 0.5 m の平面水槽であり、横流れを作るために下流端には越流ゲート、一様な流れを作るための整流装置が上流端に設けられている。放出口は 5×5 cm の矩形水路で水槽底面より 45 cm の高さにある。温度測定は 50 本のサーミスタを使用して行った。

以下の説明にあたっては図-1 に示される座標系および次に示す記号を用いる。 $f_{D}$ : 放出流速、 $V$ : 横流れの流速、 $U$ : 流速の  $X$  軸成分、 $U'$ : 流速の  $Y$  軸成分、 $U_0$ : 軸上流速、 $\theta$ : 檻線角度、 $F_{R}$ : 放出フルード数、 $Re$ : 放出レイノルズ数、 $V/U_0$ : 流速比

## 3. 実験の結果および考察

## 1) 放出軸の直進性と温排水の影響範囲

図-2 は表面内温度分布の一例であり、また図-3 は A-A 断面の横断分布の測定例であるが、放出軸や影響範囲はこのような測定をもとにして決められた。実験は  $f_{D}$  や  $V/U_0$  をパラメーターとして行われたが、 $F_{R}$  による軸の直進性についての特性を明らかにしたもののが図-4 である。流速比を一定にして、放出フルード数を変化させたとき ( $2.52, 3.54, 7.40$ ) の軸の曲り図であるが、これより  $F_{R}$  が大きい程直進性が弱いことが判る。これは  $f_{D}$  が大きい程躍層厚が大きくなるために横流れの抵抗を強く受けると共に、浮力効果により生ずる水平運動量が小さいため横流れの持つ運動量を殺せないことにによると言えられる。さらに当然ではあるが、横流れが強い程アリュームの軸は曲げられる。(図-5)

次に、影響範囲を把握するために  $f_{D}$  を一

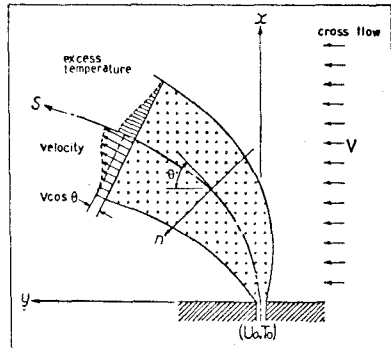


図-1 模式図

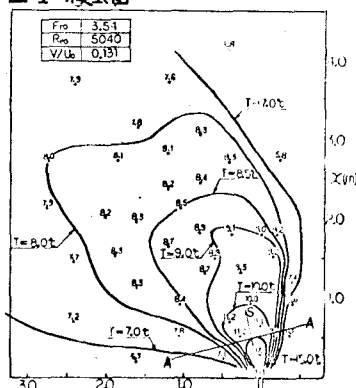


図-2 表面内温度分布

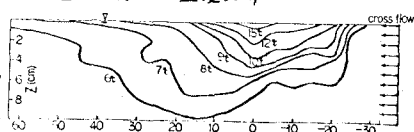


図-3 A-A断面の横断分布

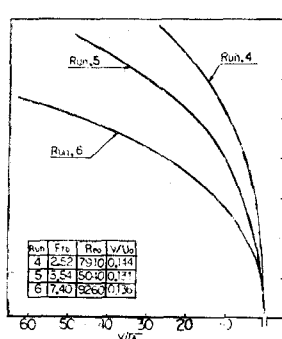


図-4 軸の曲り図

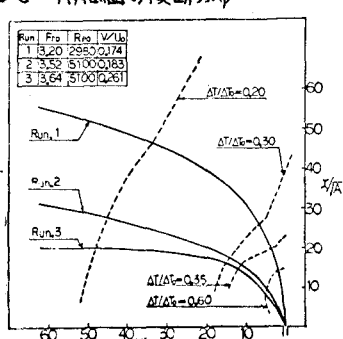


図-5 軸の曲りと影響範囲

定にして  $V/U_0$  を変化させて実験を行ったが、放水軸と影響範囲を示したもののが図-5である。影響範囲は横流れが弱い程大きく、横流れのない場ではかなり遠くまで影響を受けることも実験で認められている。工学的観点から、このように種々横流れが変化する場合の全体的影響範囲を求めるることは意義がある。

### 2)再連行現象に伴なう軸の曲り

図-6は横流れの存在によりプリュームの軸が曲がられた際の再連行現象による軸の曲りを伴なう測定例である。これはプリュームの連行が側壁で妨害されることによって、プリュームと側壁との間に渦が発生するために起る。つまり、再連行によってプリュームの軸が引寄せられる事を示している。このような現象を顕著に生ずる放水条件、場の条件はまだ定量的に明らかではないが、工学的には特に温排水が汀線に斜めに放水されるような場合、横流れが存在しなくとも軸の曲りを生じ影響範囲が変化するので検討する必要がある。

### 3)表面内流速分布の測定

表面内流速分布の測定はステレオ・カメラを使用し、カメロン網を応用することによつて行なわれた。図-7は表面内流速分布の等流速線図であり、流速を  $S$  方向と  $W$  方向に分解したものが、それぞ水図-8、図-9である。さらに、断面B-Bにおける  $u$ 、 $v$  の分布は図-10、図-11にそれぞれ示される。 $u$  の分布は横流れによる寄与分  $V \cos \theta$  を差引いた値でガウス分布と比較しているが、よく合っていることがわかる。一方、抜がり速度を表す  $v$  の分布は、横流れの影響がよく示されている。つまり、横流れを受ける側は抵抗を受け抜がり速度は抑えられるが、反対側はプリュームの下を通った流れが抜がり速度に寄与していることを示している。また、遠方に向いて横流れの寄与分 ( $V \sin \theta$ ) に近くものと考えられる。

(附記)本研究の遂行に当つては昭和51年文部省科学研究所一般研究「噴流型風洞水流の挙がりと乱れ特性に関する基礎的研究」の補助を受けた(研究代表者 林義造)。また、ステレオカメラによる流速測定に際し自由学園木下良作博士、アジア航測石上晋氏より多大のご援助を戴いた。ともに記してここに深甚なる謝意を表する。また、実験に熱心に協力せられた中央大学51年度卒業生、勝股完治、佐藤英明、佐藤弘幸、本間修一の諸君および中央大学学生、室井利美、酒井実通男、清水道雄、鈴木厚次の諸君にも感謝する。

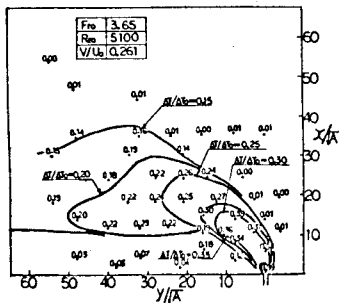


図-6 軸の曲りを伴なう表面内温度分布

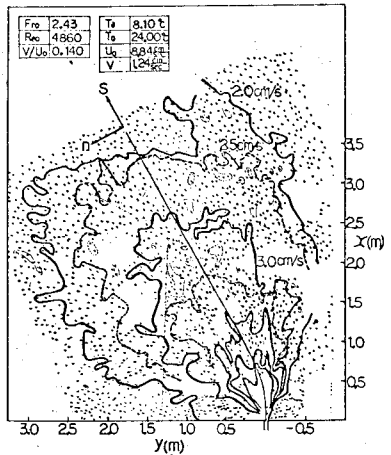


図-7 表面内流速分布の等流速線図

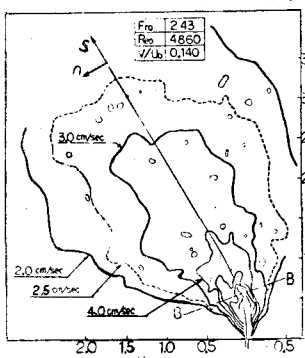


図-8  $u$  の等流速線図

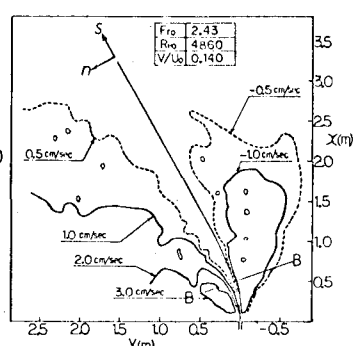


図-9  $v$  の等流速線図

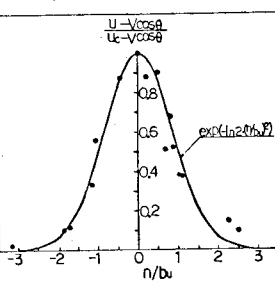


図-10 B-B断面の  $u$  の分布

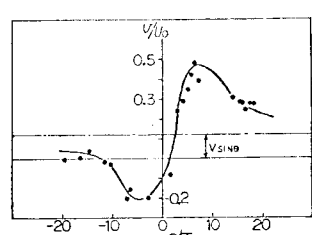


図-11 B-B断面の  $v$  の分布